

## 45 クラックを有する脆性材料の圧壊強さについて

名古屋大学 王会員 川本勝男  
名古屋大学 王会員 告日英生

### 概説

一般に、ダムや地下構造物を建設する際の基盤となる岩盤は、多くの地質学的分離面や不連続性を有しているのが常であり、これらの特性は基盤の強さの算定に関して多くの問題を提起している。

本実験は、規則的に配列されたクラックに対する上記の特性の一部を表すものとし、光弾性実験によるクラック周辺の応力状態の解析と、モルタル及び石膏円盤供試体による圧壊試験を行つ、クラックを含む脆性材料の破壊特性をクラックの方向性、頻度及び大小の観察から考察したものである。

### 供試体及実験方法

供試体製作に当りては、コンクリート標準示方書の「セメントの強さ試験」(JIS.R.5201)に基づく配合(水:338cc, セメント:520g, 標準砂:1040g, 水セメント比4/6=65%)を採用し、形状は直径15cm, 厚さ4cmの円盤と, 4×4×15cmの角柱の2種類とした。また供試体にクラックを生ぜしめるために、規則的な配列をなしたはがね板(厚さ0.7mm, 幅10mm及び5mm)を差し込み、打設後約3時間半で抜きとした。実験方法は28日強度を採用し、クラックの方向と荷重方向を15°おきに変化させながら、圧壊試験及び軸圧縮試験を行つた。

### 破壊形状

一般に、圧壊によって破壊された円盤やシリンダーは、その載荷直徑面内の引張りによっては等しい2の半円に分割されるが、本実験で用いたような方向性を有する脆性材料においては、荷重方向に対するクラックの方向によって、その方向特有の破壊形状を示す。以下、光弾性実験によって求められた応力分布の結果と対比しながら、各供試体の破壊形状について述べる。

クラックの方向が荷重方向と一致する場合には、一般的の圧壊試験とほぼ同様な破壊を示すが、クラックの方向が荷重方向と直交する場合には、石原大木らによるような複雑な破壊を示す。この破壊形状は載荷直徑面内での引張りが破壊の起因となるよりも、もしくは載荷直下での集中圧縮応力と、載荷直徑面外に存在するクラック先端に生じた引張り応力が同時に作用したためのものと思われる。またこの破壊は光弾性実験の結果からも予想されるものである。すなまち、載荷直徑面と直交するクラックの中央部には、ほぼ帶状の引張り応力が分布するが、クラックが荷重方向とある傾きをもつて存在する場合には比較的大きな引張り応力がクラックの先端に集中することから、破壊面は載荷直徑面内のクラックを横切るよりも載荷直徑面近傍に存在する数本のクラック先端

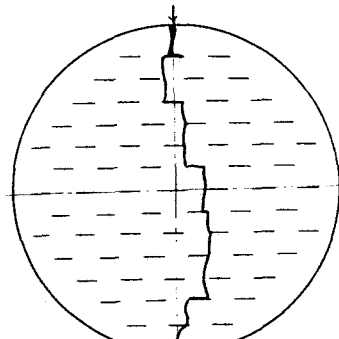


Fig 1.  $\theta = 0^\circ$

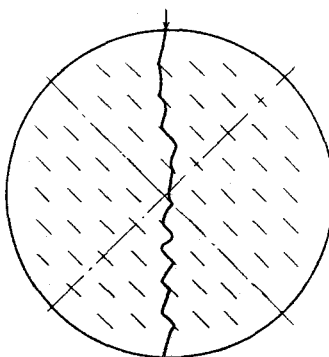


Fig 2.  $\theta = 45^\circ$

を経るものと思われる。したがってクラックが荷重方向とある程度の傾き ( $30^\circ \sim 60^\circ$ ) をもつ場合の段階状破壊し、上記と同じ原因のものであつた。(Fig. 2, 3) しかしこれらの破壊特徴は円盤中央附近においてよくみられるが、載荷直近傍においては局部的な大きな圧縮応力のため顯著でない場合が多い。角柱供試体においても、クラックが荷重方向とある程度の傾きをなす場合には、円盤の場合とほぼ同様な傾向を示すが、1次的な引張り破壊が2次的な滑り破壊を生ぜしめ、その後さらに3次的な引張り破壊を起すといった特異な破壊形狀を呈する。(Fig. 4)

クラックの頻度や大小の変化と破壊形狀を観察すると、一般的に言えることは、クラックが大きく頻度が低い場合は、クラックが効果的に作用し破壊面は單純で複数の破壊面を生ずるが、クラックが小さく頻度が高い場合には破壊面は複雑であり載荷直後面をはすれることが多い。したがって後者の場合には載荷直後面内の引張りは破壊開始に大きな影響を与えるものだと思われる。

反撃試験において円盤中心の応力状態は圧縮 ( $\sigma_1$ ) と引張り ( $\sigma_2$ ) を示す。今  $\sigma_2$  を単位にとって、クラックを長軸  $a$ 、短軸  $b$  の梢円とみなした場合に、主応力比  $\alpha = \sigma_1/\sigma_2$  の変化によってクラック周辺の応力状態は次式によって与えられる。

$$\begin{aligned} (\sigma_\eta)_{\xi=50} &= \frac{\sigma_2}{\cosh 2\eta - \cos 2\eta} \cdot \left[ (n+1) \sinh 2\eta \right. \\ &\quad + (n-1) \cdot (e^{2\eta} \cos 2\eta - 1) \cdot \cos 2\theta \\ &\quad \left. + (n-1) \cdot e^{2\eta} \sin 2\eta \sin 2\theta \right] \end{aligned}$$

上式で  $\eta$  は梢円座標を表し、 $\xi = \eta_0$  は  $\rightarrow$  の梢円端界を示してあり、直角座標  $(x, y)$  と次の関係がある。

$$\begin{aligned} x &= C \cdot \cosh \xi \cdot \cos \eta \\ y &= C \cdot \sinh \xi \cdot \cos \eta \end{aligned}$$

また、

$$a = C \cdot \cosh \xi_0, \quad b = C \cdot \sinh \xi_0$$

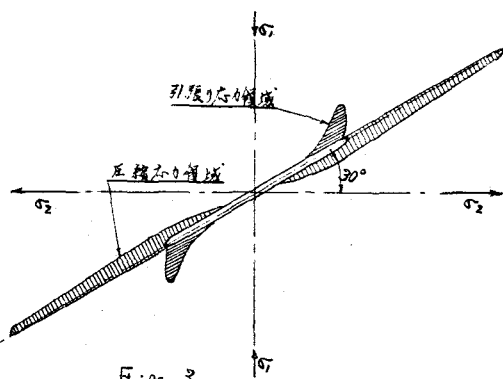


Fig. 3

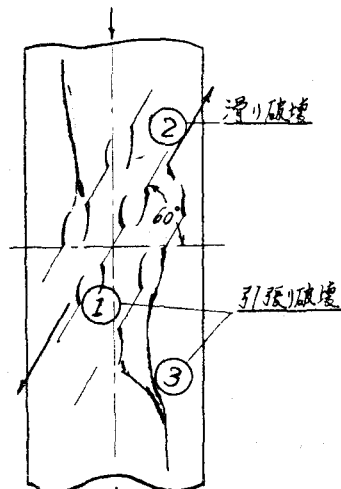


Fig. 4

	A	B	C	D
d	10	10	5	5
l	10	20	10	5

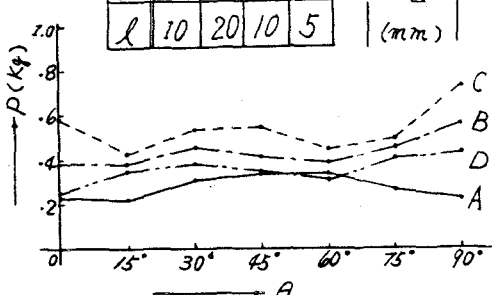
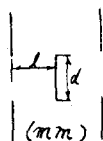


Fig. 6

$$\therefore \theta_0 = \cot^{-1} \left( \frac{a}{b} \right)$$

で、精円の長短軸と角度との関係が与えられる。C は精円の焦点間の距離である。さらに精円上の各点の位置は次で表められ、X 軸からの角度  $\psi$  によ

$$\psi = \tan^{-1} (\tan \psi / \tanh \theta_0)$$

つて与えられる。Fig. 6 は主応力比から  $\theta$  ( $0^\circ \sim 90^\circ$ ) 傾いた長短半径比  $a/b = 50$  の精円の先端 ( $\psi = 0^\circ$ ) の応力集中の変化を示したものである。クラックが荷重方向と直交する場合には、主応力比の大小に因らずクラック先端には大きな圧縮応力が生じ、特に主応力比が大きな所、すなはち載荷直近傍のクラック先端には著しつかれた応力集中を生ずる。クラックが荷重方向に対して  $60^\circ$  以上の傾きをもつ場合には、逆に載荷直近傍でもわざかながら引張り応力を生ずるが、集中圧縮応力の大きさと比較すると小さなものである。したがってこの計算例がともに内盤の破壊要因が一様でないことがわかる。

### 破壊強度

Fig. 5 はクラックの頻度及び大小による破壊強度の変化を、その方向に関して表めしたものである。全般的に、クラックの頻度の低い場合は高い場合に比べて破壊強度は大きく、クラックが小さく場合は大きい場合に比べて小さく。しかし各ケースごとにクラックの方向による破壊強度の変化をみると、各ケースの供試体に共通した特性ではなく、強度の差も顕著なものはない。

一般に、脆性材料が異方性を示す場合、その異方性の方向やその程度の大小が圧縮強度やせん断強度に影響することは実験的で確かめられてつづるが、本実験のような圧裂試験の場合には、荷重状態とクラックの入り具合のわざかな差異で、載荷直近面内の引張りがあるのは載荷直下での圧縮のつづれかがクラックからの破壊の進行の第 1 の要因として作用するものと考えられ、その結果、まちまちた破壊の様式が觀察され、強度特性を厳密に考察することが不可能であった。したがって圧裂試験によって、異方性の脆性材料の引張り強度特性を知るうとする場合には、まず内盤中心附近の引張り応力を破壊を生ずるような荷重状態を作り、その部分にのみクラックによる異方特性をもたすような実験を行なう必要があることがわかった。

### 参考文献

- 1) P.S.B. Colback : An analysis of brittle fracture initiation and propagation in the Brazilian test.
- 2) Fred. A. Donath : Strength Variation and Deformational Behavior in Anisotropic Rock.

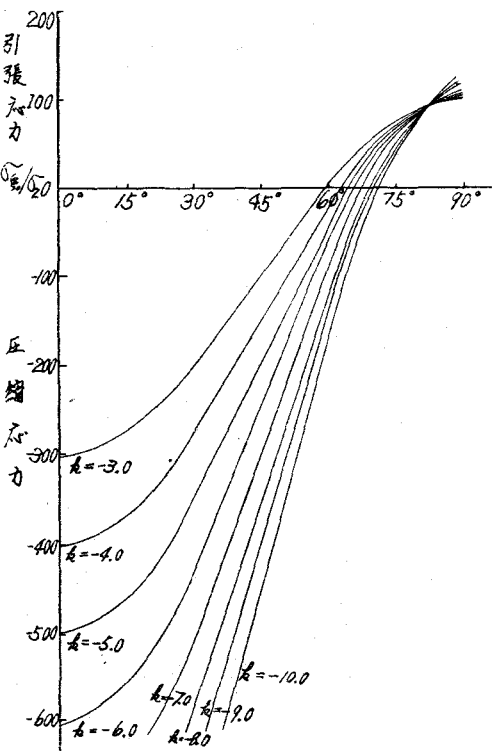


Fig. 5